

## Exercício 07: Equações diferenciais ordinárias

Ernesto González, Inês Rebanda, Rafael Lopes

Utilização e análise dos métodos de Euler e de Runge-Kutta de 4ª ordem para a resolução de EDOs. Comparação entre diferentes passos de integração e soluções analíticas. Estudo do decaimento radioativo, epidemia de zombies e lançamento oblíquo de um projétil.

### I. Decaimento radioativo

O decaimento radioativo do Polônio-201 é dado pela equação  $\dot{N}(t) = -kN(t)$  onde  $N(t)$  é a densidade de núcleos radioativos no instante  $t$  e  $k$  é a taxa de decaimento dada por  $k = 2.3 \text{ horas}^{-1}$ . Sendo  $N(0) = 1$  implementamos o método de Euler e o de Runge-Kutta de 4ª ordem.

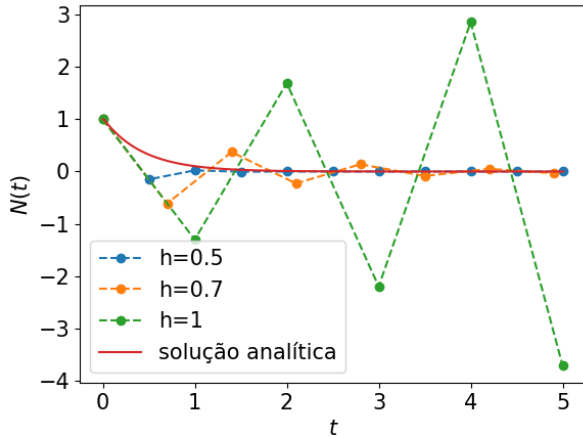


Figura 1. Gráfico do decaimento radioativo definido por  $\dot{N}(t) = -kN(t)$  e  $N(0) = 1$ , calculado pelo método de Euler para passos de integração  $h = \{0.5, 0.7, 1\}$  e gráfico da solução analítica  $N(t) = e^{-2.3t}$ .

Primeiramente implementou-se o método de Euler e traçou-se o gráfico para a solução numérica de  $N(t)$  com passos de integração  $h = \{0.5, 0.7, 1\}$ . Comparamos também com a solução analítica  $N(t) = e^{-2.3t}$ . Para  $h = 0.5$  o gráfico converge rapidamente para a solução e as suas oscilações são ligeiras sendo especialmente pequenas após  $t = 1$ . Para  $h = 0.7$  o gráfico também converge rapidamente para a solução mas não tão rápido como  $h = 0.5$  e as suas oscilações são também de maior amplitude. Para  $h = 1$  o comportamento do gráfico muda e em vez de convergir ele diverge aumentando a cada iteração a amplitude das oscilações. Isto acontece pois enquanto que com  $h = 0.5$  e  $h = 0.7$  ao efetuar a equação  $\dot{N}(t) = -kN(t)$  o resultado é menor que 1 (que é o resultado inicial), em  $h = 1$  o resultado vai ser maior que 1, em módulo, fazendo com que divirja.

Seguidamente utilizou-se o método de Runge-Kutta de

4ª ordem e traçou-se o gráfico do seu desvio e do de Euler ao valor analítico em  $t = 5 \text{ horas}$  em função do tamanho do passo (em escala log-log), com passos  $h = \{1, \frac{1}{2}, \frac{1}{4}, \frac{1}{8}, \frac{1}{16}, \frac{1}{32}, \frac{1}{64}\}$ .

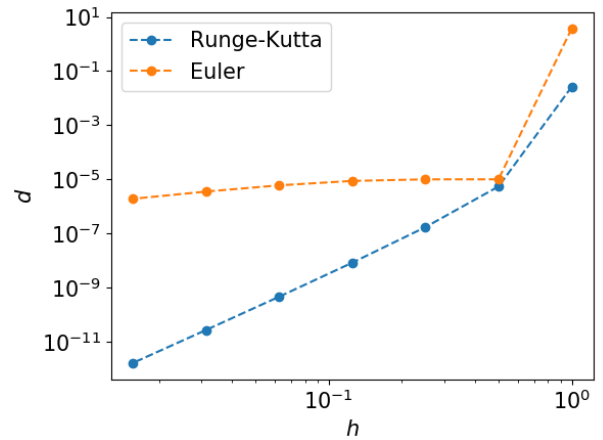


Figura 2. Desvio,  $d$ , dos valores  $N(t = 5)$  encontrados para as soluções do PVI  $\dot{N}(t) = -kN(t)$  e  $N(0) = 1$ , calculadas numericamente pelos métodos de Euler e Runge-Kutta de 4ª ordem, em função do passo de integração usado no método. Os passos usados foram  $h = \{1, \frac{1}{2}, \frac{1}{4}, \frac{1}{8}, \frac{1}{16}, \frac{1}{32}, \frac{1}{64}\}$ .

Pelo gráfico vê-se que o método de Runge-Kutta de 4ª ordem tem sempre um erro inferior ou igual, para o mesmo valor de  $h$ , do que o método de Euler. Por isso neste caso é o método mais eficaz dos dois. O declive das linhas dão-nos a ordem de convergência do respetivo método, isto é, o expoente pelo qual o desvio,  $d$  varia com o passo de integração  $h$ . Para o método de Euler, em  $h \in [\frac{1}{64}, \frac{1}{2}]$  a ordem de convergência é, aproximadamente  $O(h^{0.5})$ . Já em  $h \in [\frac{1}{2}, 1]$  é  $O(h^{18})$ . Para o método de Runge-Kutta de ordem 4, em  $h \in [\frac{1}{64}, \frac{1}{2}]$  a ordem de convergência é, aproximadamente  $O(h^4)$  e em  $h \in [\frac{1}{2}, 1]$  é  $O(h^{12})$ .

### II. Epidemia de zombies

Considere-se o cenário de uma epidemia de zombies. Sabe-se que um zombie contagia um humano com taxa  $c$ , um humano mata um zombie com taxa  $a$  e um zombie mata um humano com taxa  $b$ . Assim, as equações da

população de humanos,  $H$ , e de zombies,  $Z$  são

$$\begin{aligned}\frac{dH}{dt} &= -(b+c)HZ \\ \frac{dZ}{dt} &= (c-a)HZ\end{aligned}\quad (1)$$

Nas Figuras 3 e 4 encontram-se os resultados das simulações para  $a = 0.05$ ,  $b = 0.06$ ,  $c = 0.02$  usando o método de Euler e  $a = 0.01$ ,  $b = 0.03$ ,  $c = 0.04$  usando o método Runge-Kutta de ordem 4, partindo de várias populações iniciais.

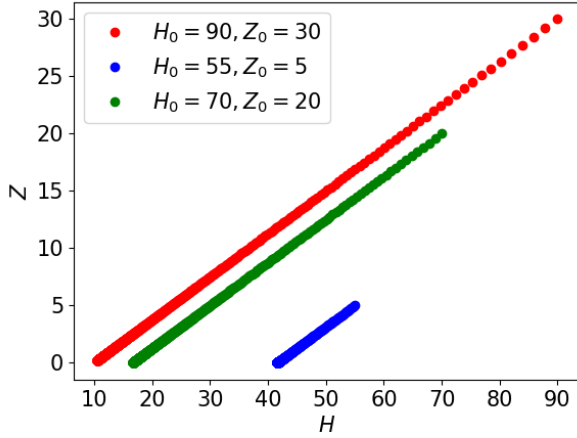


Figura 3. Resultados da simulação da epidemia de zombies descrita por  $\dot{H} = -(b+c)HZ \wedge \dot{Z} = (c-a)HZ$  usando o método de Euler para  $a = 0.05$ ,  $b = 0.06$ ,  $c = 0.02$  e diferentes pares  $H_0$ ,  $Z_0$ .

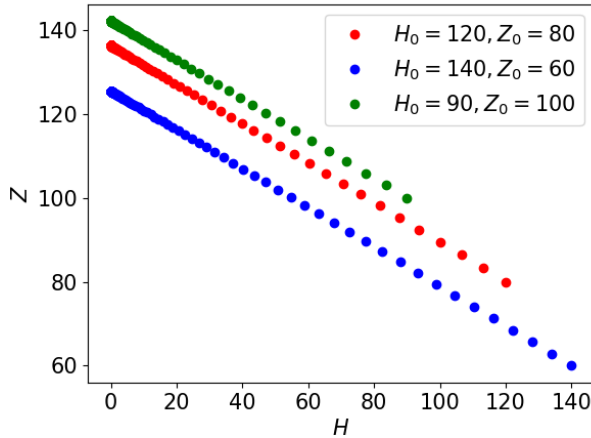


Figura 4. Resultados da simulação da epidemia de zombies descrita por  $\dot{H} = -(b+c)HZ \wedge \dot{Z} = (c-a)HZ$  usando o método de Runge-Kutta para  $a = 0.01$ ,  $b = 0.03$ ,  $c = 0.04$  e diferentes pares  $H_0$ ,  $Z_0$ .

Nos três casos analisados na Figura 3, a população de

zombies,  $Z$ , ficou extinta. Já nos casos expostos na Figura 4, a população de humanos,  $H$ , ficou extinta. Estudemos o sistema (1). Se  $c - a > 0$ , então a taxa a que os zombies contagiam humanos,  $c$ , é maior do que a taxa a que os humanos matam zombies,  $a$ . Neste caso, os humanos são extintos.

Se a taxa a que os humanos matam zombies,  $a$ , for maior do que a taxa a que os zombies contagiam humanos,  $c$ , temos  $c - a < 0$ . Neste caso o destino do sistema será definido pelas condições iniciais e pelas taxas de crescimento das populações. Vejamos com mais atenção este caso. Definindo  $\alpha = b + c$  como a taxa total de destruição de humanos e  $\beta = c - a$  a taxa de criação de zombies, reescrevemos o sistema (1) como

$$\frac{d(\beta H + \alpha Z)}{dt} = -\beta \alpha H Z + \alpha \beta H Z = 0, \quad (2)$$

pelo que  $\beta H + \alpha Z$  é constante. Se a população de zombies for extinta, então a população final de zombies é nula:  $Z_f = 0$ . Assim, do facto de  $\beta H + \alpha Z$  ser constante vem

$$-\beta H_f = -\beta H_0 - \alpha Z_0 \quad (3)$$

Logo para que os humanos tenham sobrevivido vem

$$\begin{aligned}-\beta H_f > 0 &\iff -\beta H_0 - \alpha Z_0 > 0 \\ &\iff -\beta H_0 > \alpha Z_0\end{aligned} \quad (4)$$

### III. Lançamento oblíquo

Considere-se um lançamento oblíquo de um projétil. As equações do movimento são:

$$\begin{cases} \dot{x} = 0 \\ \dot{y} = -g \\ \dot{x}(t) = \dot{v}_x(t) \\ \dot{y}(t) = \dot{v}_y(t) \end{cases} \quad (5)$$

em que  $g$  é o módulo da aceleração da gravidade, e a velocidade  $v_0 = 20 \text{ ms}^{-1}$  faz um ângulo de  $\pi/4$  com a horizontal. Na Figura 5, encontra-se a trajetória seguida pelo projétil calculada numericamente pelos métodos de Euler e Runge-Kutta, bem como a solução analítica do sistema, partindo de  $x_0 = 0$  e  $y_0 = 0$ . Na Tabela I encontram-se os valores de  $y(t = 5)$  para os diferentes métodos utilizados.

Na Figura 5, pode ser observado a representação da trajetória de  $y(x)$  calculada para cada Método, e ainda pode ser observada a curva da trajetória real, obtida analiticamente. Ao observar a curva obtida através do Método de Runge-Kutta de 4ª ordem podemos verificar que esta curva coincide com a curva analítica. Podemos então inferir que isto dá-se pois o seu erro estará associado À 4ª ordem de  $t$ , o que significaria que os valores de  $x$  e  $y$  analíticos serão sempre idênticos aos

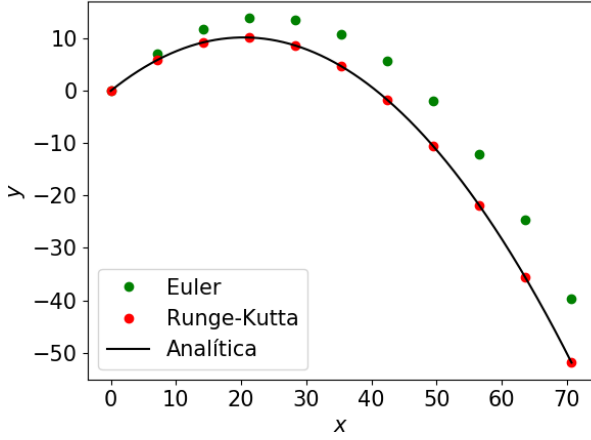


Figura 5. Trajetória do projétil cujo movimento é dado por  $\dot{v}_x(t) = 0 \wedge \dot{v}_y(t) = -g \wedge x(t) = v_x(t) \wedge y(t) = v_y(t)$ , calculado numericamente com os métodos de Euler e Runge-Kutta de ordem 4 e analiticamente com  $x = x_0 + v_{x0}t \wedge y = y_0 + v_{y0}t - 0.5gt^2$ , para valores iniciais  $x_0 = 0, y_0 = 0, v_{x0} = 20\cos(\frac{\pi}{4})$  e  $v_{y0} = 20\sin(\frac{\pi}{4})$ .

Tabela I. Valores de  $y$  quando  $t = 5s$  para os métodos de Euler e Runge-Kutta de ordem 4 e da solução analítica para o sistema  $\dot{v}_x(t) = 0 \wedge \dot{v}_y(t) = -g \wedge x(t) = v_x(t) \wedge y(t) = v_y(t)$ , partindo de  $x_0 = 0, y_0 = 0, v_{x0} = 20\cos(\frac{\pi}{4})$  e  $v_{y0} = 20\sin(\frac{\pi}{4})$ .

Método	$y(t=5)$
Euler	-39.65182188134526
Runge-Kutta	-51.91432188134523
Análítica	-51.914321881345415

obtidos com o Método Runge-Kutta de 4ª ordem, pois as funções  $x$  e  $y$  são funções de  $t$  de 2ª ordem.

A partir da Figura 5 pode ser também inferido que a trajetória obtida através dos valores do método de Euler começa a divergir da curva analítica apresentando um desvio cada vez maior. Então, podemos concluir que o Método de Euler tem uma precisão inferior ao Método de Runge-Kutta de 4ª ordem. Sendo que esta conclusão

é também corroborada pelos valores da Tabela I.

Consideremos agora que o projétil está sujeito à resistência do ar, em que a aceleração tem um termo adicional de  $\gamma v^2$  na mesma direção da velocidade, mas sentido contrário. As equações do movimento passam a

$$\begin{aligned}
 \dot{v}_x(t) &= -\gamma v_x^2(t) \\
 \dot{v}_y(t) &= -g + \gamma v_y^2(t), \quad \text{se } v_y(t) < 0 \\
 \dot{v}_y(t) &= -g - \gamma v_y^2(t), \quad \text{se } v_y(t) \geq 0 \\
 \dot{x}(t) &= v_x(t) \\
 \dot{y}(t) &= v_y(t)
 \end{aligned} \tag{6}$$

Na Figura 6, encontra-se a trajetória do projétil encontrada pelos métodos de Euler e Runge-Kutta de ordem 4. Veja-se como para velocidades iniciais iguais o projé-

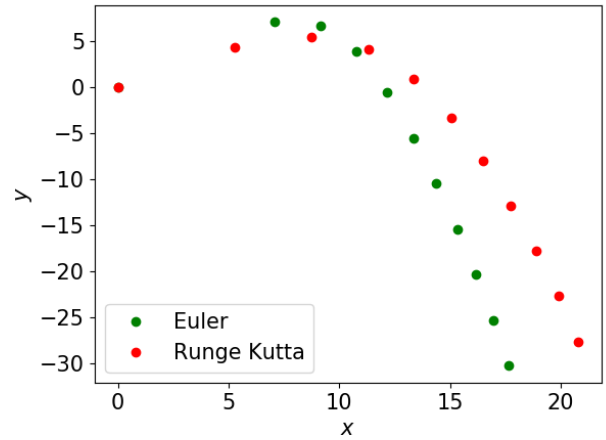


Figura 6. Trajetória do projétil cujo movimento é dado por  $\dot{v}_x(t) = -\gamma v_x^2(t) \wedge \dot{v}_y(t) = -g + \gamma v_y^2(t)$ , se  $v_y(t) < 0 \wedge \dot{v}_y(t) = -g - \gamma v_y^2(t)$ , se  $v_y(t) \geq 0 \wedge x(t) = v_x(t) \wedge y(t) = v_y(t)$ , calculado numericamente com os métodos de Euler e Runge-Kutta de ordem 4, para valores iniciais  $x_0 = 0, y_0 = 0, v_{x0} = 20\cos(\frac{\pi}{4})$  e  $v_{y0} = 20\sin(\frac{\pi}{4})$ .

til atinge alturas e alcances menores devido à dissipação de energia provocada pela resistência do ar, como era de esperar.